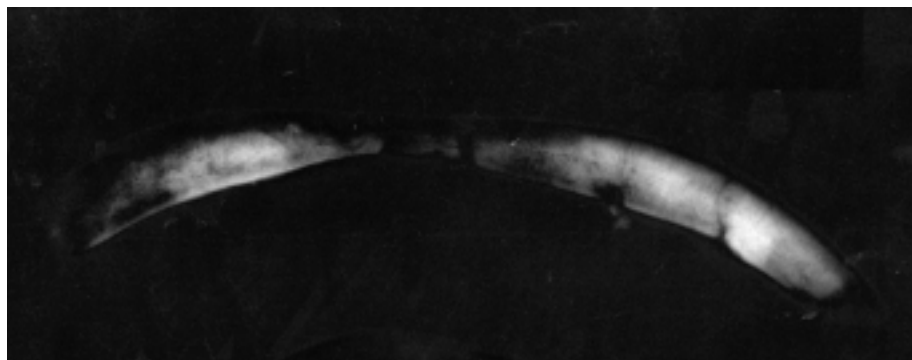


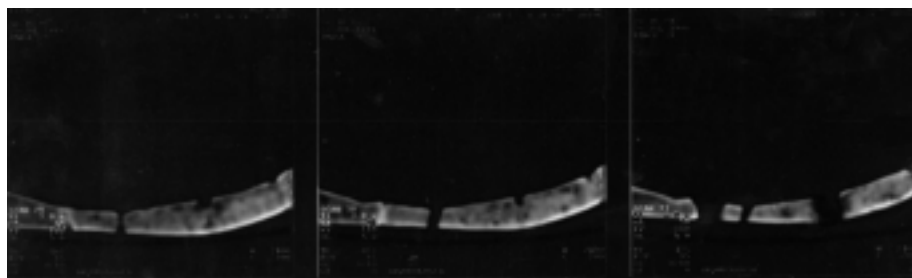
**a**



**b**



**c**

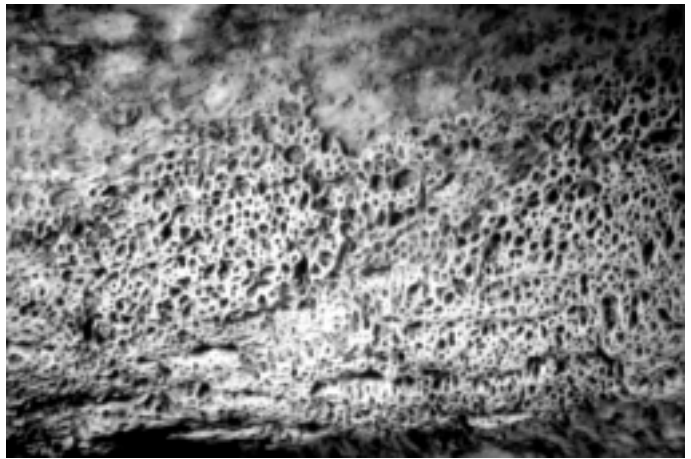


**d**

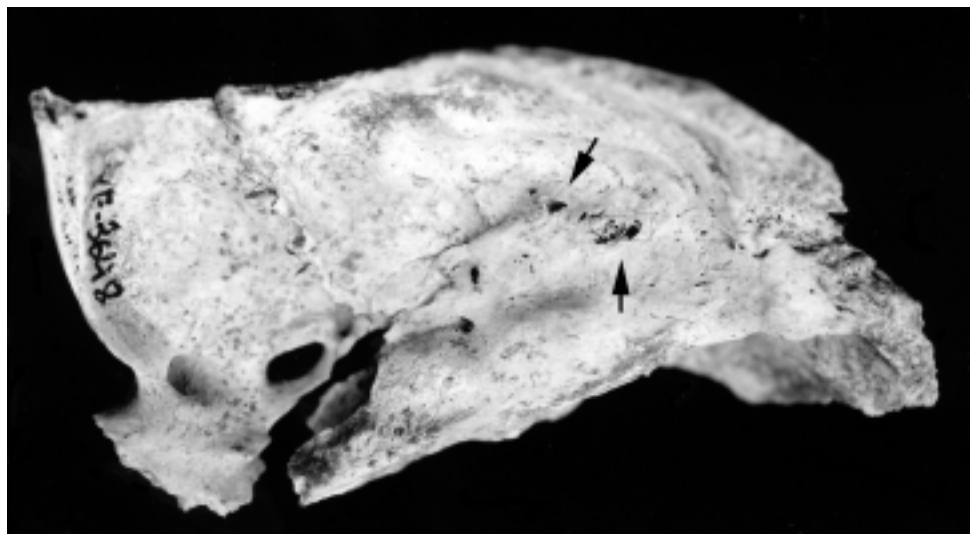
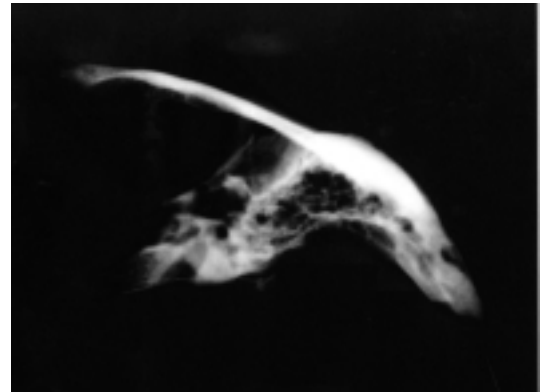
**AR-20.** Expansión anómala del diploe. **a:** Detalle a nivel de la eminencia frontal donde alcanza un grosor máximo de 14 mm (macrofotografía); **b:** Radiografía del segmento frontoparietal conservado; **c y d:** Imágenes del segmento anterior obtenidas mediante tomografía axial computerizada.



a.) XE-151. Tibia derecha. Periostitis activa y esclerótica de carácter proliferante en la diáfisis distal. Obsérvese también los procesos de osificación de la membrana interósea crural (flecha blanca) y el desarrollo de carillas articulares accesorias (*squatting facet*) con el astrágalo (flecha negra)..



b.) XF-9445. Peroné derecho. Detalle de la región afectada por periostitis (macrofotografía).



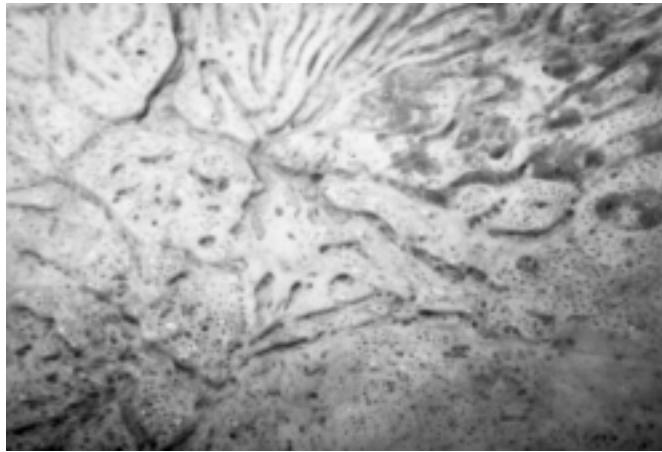
c.) XF-488 (temporal)  
XF-3648 (esfenoides).  
Mastoiditis del oído de-  
recho. La radiografía  
muestra el temporal en  
norma superior.



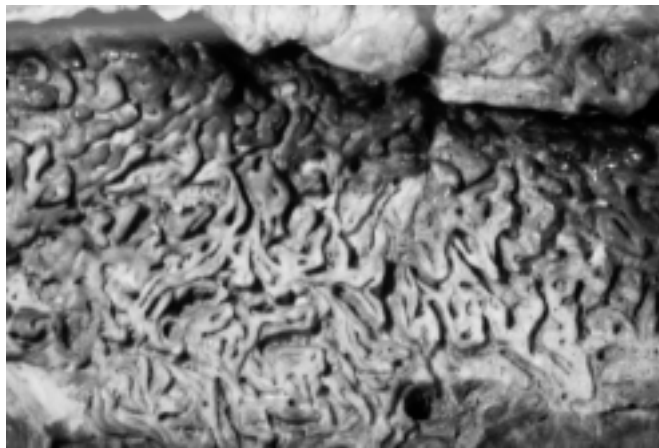
a.) **XF-5916.** Afección de las meninges. Adición y reabsorción ósea.



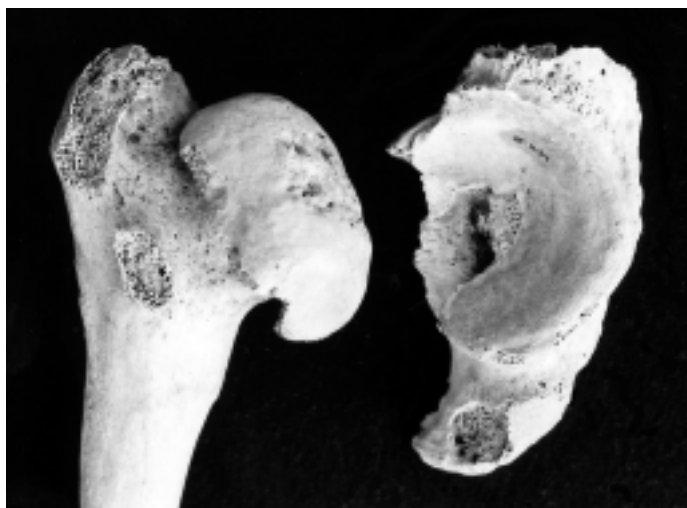
b.) **XF-1346.** Afección de las meninges. Detalle de las neoformaciones óseas en la escama superior del occipital.



c.) **AR-122.** Afección de las meninges sin adición ósea (macrofotografía). Eminencia parietal derecha.



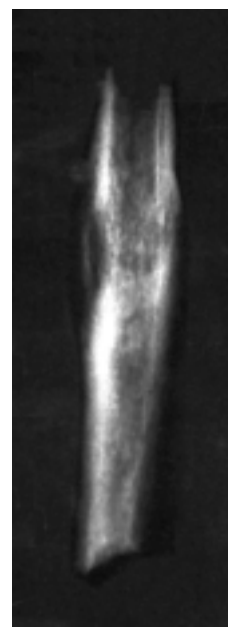
d.) **AR-35.** Afección de las meninges con adición ósea (macrofotografía). Canal sagital a la altura de obelion.



a.) **XF-9588** (fémur) y **XF-12124** (coxal). Dislocación de cadera de carácter posiblemente traumático.



b.) **X1-289**. Cúbito. Dislocación traumática.



c.) Radiografías de huesos de la extremidad superior con traumas cicatrizados. De izquierda a derecha: **X1-979**: húmero con fractura incompleta del segmento distal; **X1-18156** y **X1-5140**: radio y cúbito con sendas fracturas por enclavamiento; **X1-11795**: cúbito con callo óseo desarrollado por desplazamiento de los extremos fracturados.



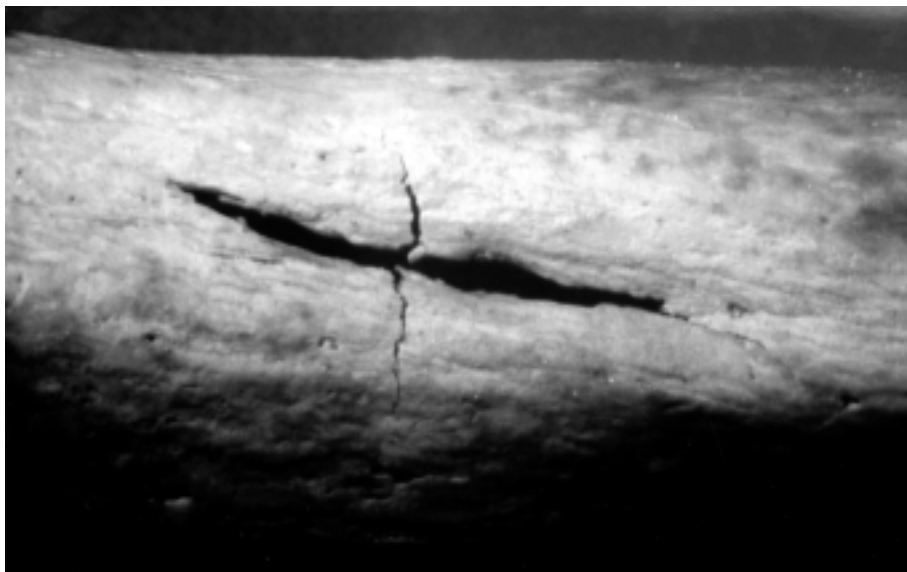
a.) X1-19646. Espondilolisis en una vértebra lumbar.



b.) XF-12169 y XF-12168. Vértebras T2/T9 con anquilosis secundaria a un proceso de espondilolisis.



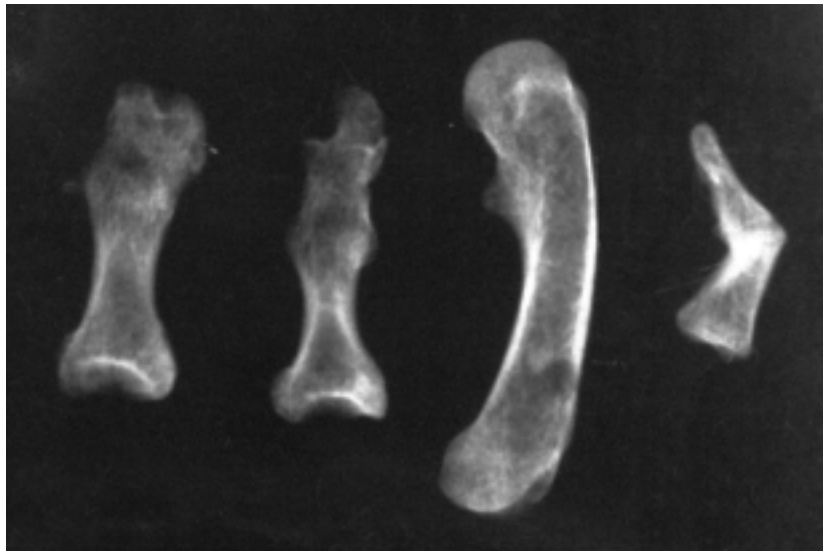
c.) XF-308. Radiografía en norma lateral de una T12 con fractura por compresión.



d.) X1-317. Trauma inciso *perimortem* en la cara medial de la diáfisis de un MC2 izquierdo (macrofotografía). Longitud 8 mm; anchura máxima 0,6 mm.



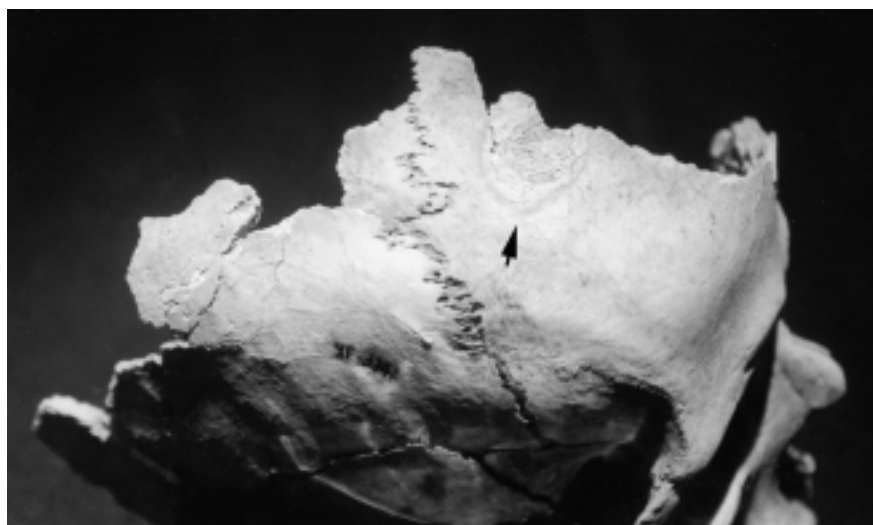
a.) **X1-13534.** Trauma con anquilosis de las articulaciones interfalángicas en un dedo del pie.



b.) Radiografías de lesiones traumáticas en huesos de manos y pies. De izquierda a derecha **XF-13401**: anquilosis de la articulación interfalángica proximal; **XF-13534**: anquilosis de ambas articulaciones interfalángicas (corresponde a la fotografía "a" de esta misma lámina); **XF-5379**: fractura distopalmar de un MC2; **XF-4703**: anquilosis de las falanges distales de un dedo de la mano.



c.) Traumas en la articulación interfalángica proximal de los dedos de los pies. De izquierda a derecha: **X1-4935**, **X1-8255** y **X1-4914**.



d.) **AR-105.** Lesión posiblemente traumática de carácter contuso.